

A l'aval du lacet, en redescendant la route, les observations précédentes peuvent être répétées. Les structures sont toujours identiques, mais il faut toutefois souligner que l'on se déplace vers le Sud et que les plongements des linéations b (toujours marquées par les larges ondulations de S2) sont constamment vers le Sud, avec une valeur qui atteint 45° . La linéation d'étirement X reste au contraire régulière et verticale. Elle est soulignée par les fissures parallèles du longrain (subverticales et perpendiculaires à S2). L'allongement du matériau se traduit en plus par un réseau de fractures subhorizontales perpendiculaires à S2 et à X (fig. 7), qui était moins évident dans la partie amont du secteur étudié.

Les modalités de cette fracturation horizontale s'observent bien dans le secteur où la route est surplombée par les falaises, peu avant les excavations creusées pour la recherche de cristaux dans de larges fissures horizontales à quartz et calcite, et où est logé un petit oratoire.

On remarque d'abord que les fractures à cristaux sont en échelon, dans un système de cisaillement

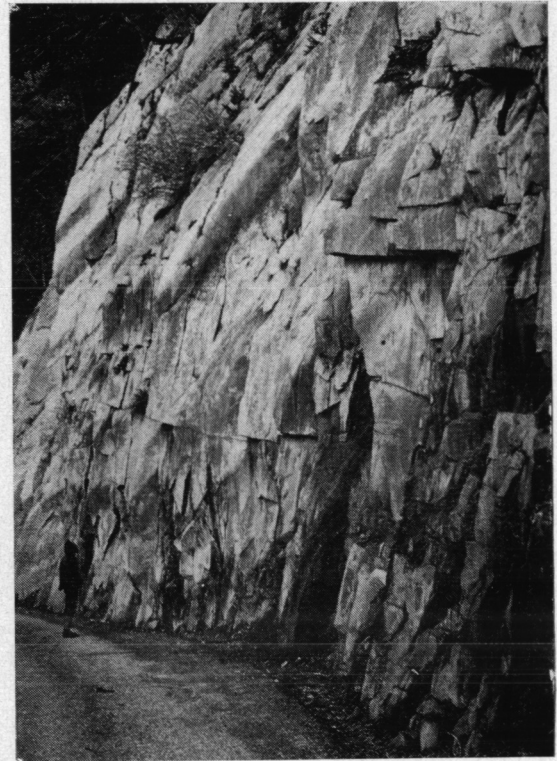


Fig. 7. — Ondulations du clivage S2 : intersections S_0/S_2 (bombements des microlithons) plongeantes vers le Sud (vue en direction de l'Ouest, aval du lacet n° 7). Remarquer les fissures du longrain parallèles à X (vertical) et les fractures horizontales.

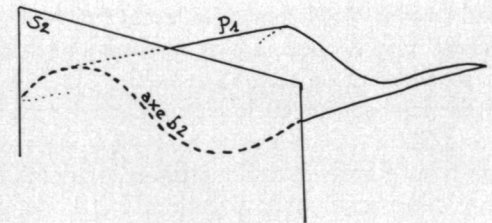
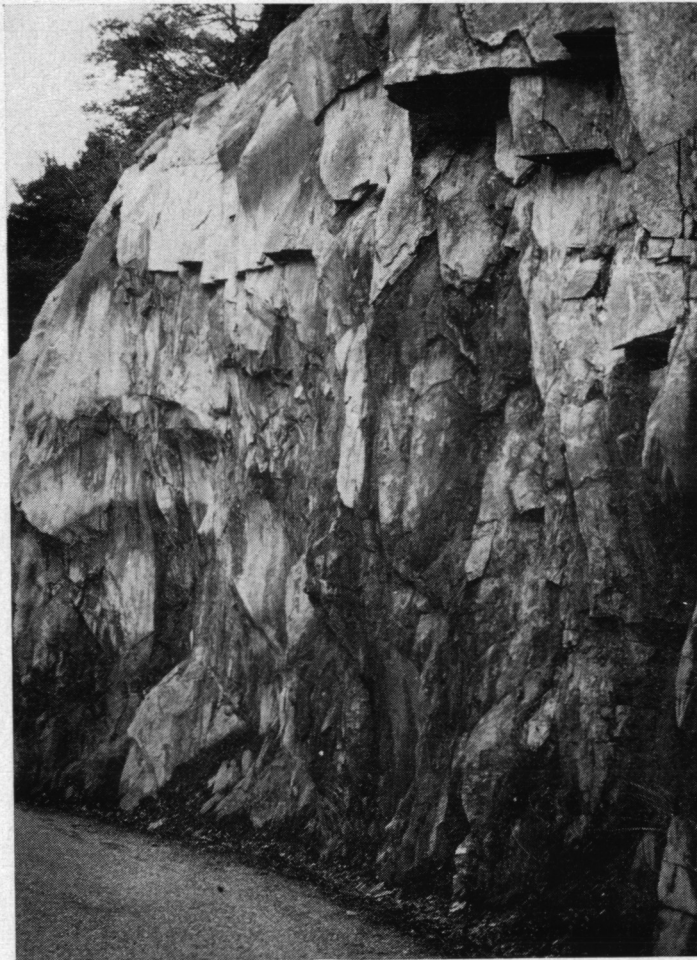


Fig. 6. — Arche des ondulations b (intersection S_0/S_2) indiquant la trace d'un axe P1 transversal (vue vers l'Ouest).